

УДК 537.86:530.145, 621.373.5.038.825.2

ИЗМЕРЕНИЕ РАДИАЦИОННОГО ВРЕМЕНИ ЖИЗНИ ВЕРХНЕГО ЛАЗЕРНОГО УРОВНЯ АКТИВНОГО ЭЛЕМЕНТА ТВЕРДОТЕЛЬНОГО ЛАЗЕРА С ПАССИВНЫМ ЗАТВОРОМ В РЕЗОНАТОРЕ

М. И. Беловолов, А. Ф. Шаталов

Рис. 2. Схема экспериментальной установки для измерения радиационного времени жизни верхнего лазерного уровня активного элемента в резонаторе твердотельного лазера с диодной накачкой и пассивной модуляцией добротности.

Описан метод измерения радиационного времени жизни верхнего лазерного уровня активного элемента в резонаторе твердотельного лазера с диодной накачкой и пассивной модуляцией добротности.

При оптимизации импульсных твердотельных лазеров (ТТЛ) с диодной накачкой и пассивным затвором в резонаторе важным параметром является радиационное время τ жизни верхнего лазерного уровня активного элемента (АЭ) ТТЛ [1]. Это время, измеренное по стандартной методике [2] для АЭ вне резонатора, может отличаться от времени τ для АЭ в резонаторе из-за усиления последним спонтанного излучения.

В данной работе описан метод измерения радиационного времени τ жизни верхнего лазерного уровня АЭ, находящегося в резонаторе ТТЛ с диодной накачкой и пассивной модуляцией добротности.

В этом методе действующее значение тока диода накачки ТТЛ комбинируется из постоянной I_0 и импульсной I_i составляющих. На рис. 1 показаны зависимости мощности P_n (а) оптической накачки и плотности n (б) инверсной населенности в АЭ от времени при импульсной генерации ТТЛ, соответствующей этой накачке. Постоянная P_0 и импульсная P_i составляющие оптической мощности накачки соответствуют действующим токам I_0 и I_i диода, а оптическая мощность $P_p = P_0 + P_i$ соответствует току $I_p = I_0 + I_i$; T – период следования импульсов накачки, τ_i – их длительность, $F = \frac{1}{T}$ – частота следования, T_0 – время задержки начала генерации лазера относительно переднего фронта импульса накачки, n_i и n_f – плотности инверсной населенности АЭ в начале и в конце генерации ТТЛ, а n_{0f} – плотность инверсной населенности АЭ, обусловленная мощностью P_0 накачки.

Используя уравнения динамики для плотности n инверсной населенности в АЭ [1], время T_0 задержки начала генерации ТТЛ с пассивным затвором в резонаторе можно

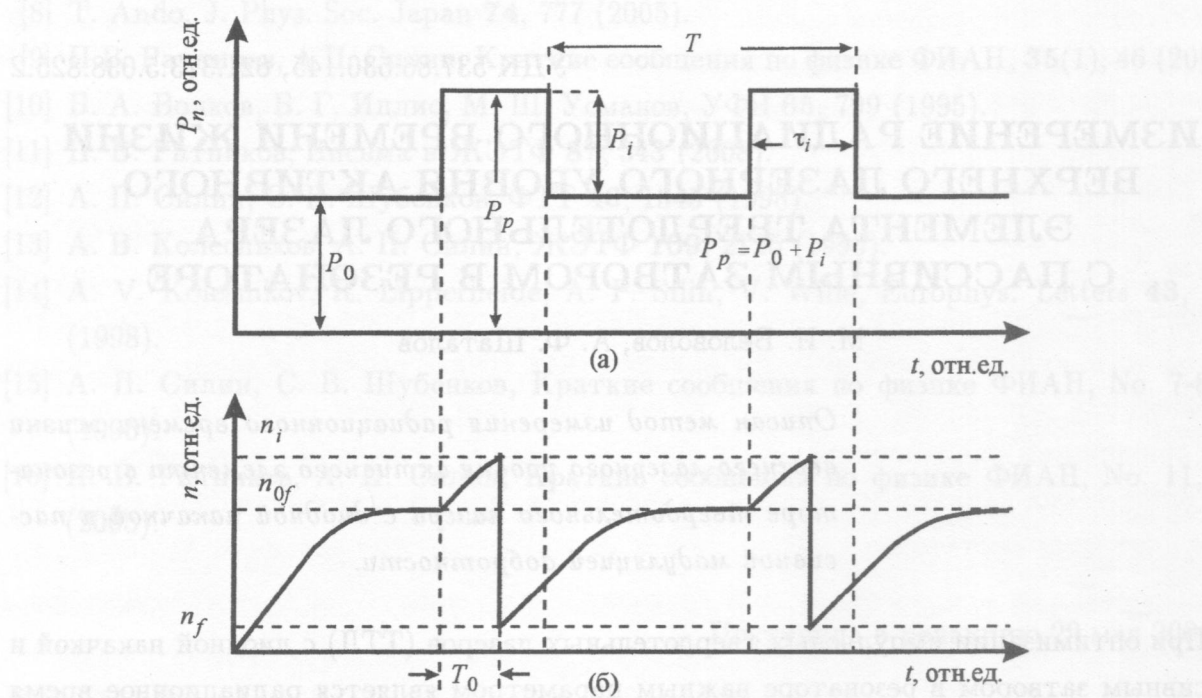


Рис. 1. Зависимости мощности P_n (а) оптической накачки и плотности n (б) инверсной населенности в АЭ от времени.

выразить через параметры накачки лазера

$$T_0 = \tau \ln \frac{x_p - x_0}{x_p - 1}, \quad (1)$$

где $x_p = \frac{P_p}{P_t} = \frac{I_p}{I_t}$, $x_0 = \frac{P_0}{P_t} = \frac{I_0}{I_t}$, P_t – пороговая оптическая мощность, а I_t – соответствующий ей пороговый ток накачки лазера. Из (1) следует, что радиационное время τ АЭ в резонаторе лазера можно измерять по задержке T_0 , которая зависит от параметров x_p и x_0 диодной накачки ТТЛ.

Схема экспериментальной установки для измерения радиационного времени жизни верхнего лазерного уровня АЭ ТТЛ с пассивным затвором в резонаторе показана на рис. 2. Источник тока 1 модулировал выходную мощность излучения (длина волны $\lambda_p = 805$ нм) лазерного диода 2 накачки, имеющего выход излучения через оптическое волокно 3. Ширина спектра излучения накачки на полувысоте составляла 2 нм. Микрообъектив 4 фокусировал излучение из выходного торца волокна 3 на АЭ 5 в пятно диаметром 90 мкм. Активным элементом служил активированный неодимом кристалл кальций-галлий-германиевого граната $\text{Ca}_3\text{Ga}_2\text{Ge}_3\text{O}_{12}:\text{Nd}^{3+}$, который укреплялся

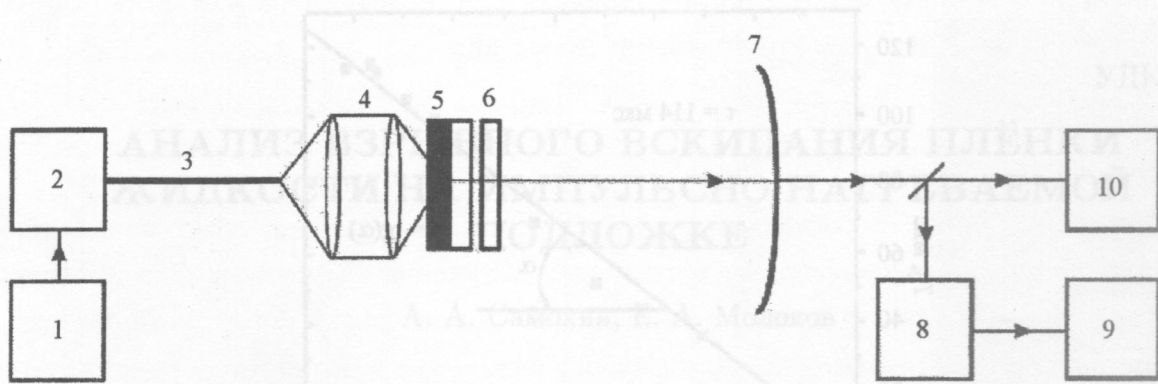


Рис. 2. Схема экспериментальной установки для измерения радиационного времени жизни верхнего лазерного уровня АЭ ТТЛ с пассивным затвором в резонаторе. 1 – источник тока; 2 – лазерный диод; 3 – оптическое волокно; 4 – микролинза; 5 – АЭ; 6 – пассивный затвор; 7 – выходное сферическое зеркало; 8 – фотоприемник; 9 – осциллограф; 10 – измеритель мощности.

на медном теплоотводе с помощью термопасты. Передняя грань (на рис. 2 зачернена) – входное зеркало АЭ вместе со сферическим зеркалом 7, имеющим коэффициент пропускания $T = 0.01$ и радиус $R = 5$ см, образуют резонатор лазера. В резонатор лазера помещался пассивный затвор 6, выполненный на кристалле YAG:Cr⁴⁺, просветленный на длине волны 1.06 мкм и имеющий коэффициент пропускания $T = 0.9$ при малых интенсивностях падающего на него излучения. Толщина затвора 6 равнялась 1 мм. Концентрация ионов неодима в АЭ составляла $2.0 \cdot 10^{20} \text{ см}^{-3}$. Толщина АЭ равнялась 1.5 мм. За один проход в этом АЭ поглощалось 80% излучения накачки. Форма и временные параметры лазерных импульсов генерации измерялись с помощью малошумящего широкополосного фотоприемника 8 и осциллографа 9. В качестве измерителя мощности 10 использовался Coherent FieldMaster FM с измерительной головкой LM10.

Пороговый ток I_t накачки ТТЛ был равен 0.77 А, а соответствующая ему пороговая оптическая мощность P_t накачки составляла 0.74 Вт. Энергия и длительность импульсов генерации ТТЛ составляли 3.5 мкДж и 11 нс, соответственно.

На рис. 3 показана зависимость времени T_0 задержки импульса генерации лазера относительно переднего фронта импульса накачки от $\ln\left(\frac{x_p - x_0}{x_p - 1}\right)$. Тангенс угла наклона прямой, аппроксимирующей экспериментальные точки, равен радиационному времени τ жизни верхнего лазерного уровня АЭ в резонаторе ТТЛ. Полученное из данных рис. 3 значение τ составляет 114 мкс, что меньше времени $\tau = 230$ мкс [2], измеренного

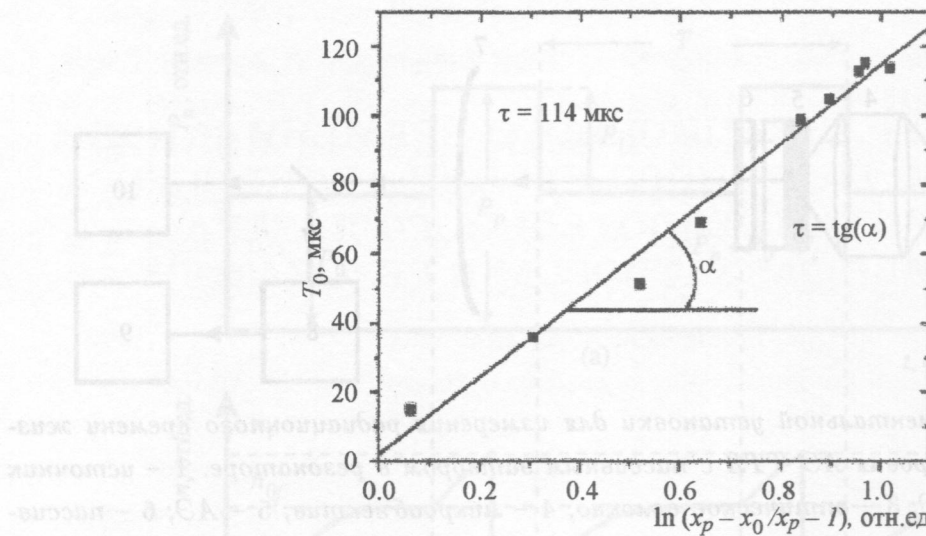


Рис. 3. Зависимость времени T_0 задержки импульса генерации лазера относительно переднего фронта импульса накачки от $\ln\left(\frac{x_p - x_0}{x_p - 1}\right)$.

по стандартной методике для АЭ, находящегося вне резонатора. Уменьшение радиационного времени τ для АЭ в резонаторе связано с усилением последним спонтанного излучения, в результате чего радиационное время жизни верхнего лазерного уровня АЭ уменьшается.

Таким образом, радиационное время жизни верхнего лазерного уровня АЭ может существенно уменьшаться, если АЭ находится в резонаторе ТТЛ, что необходимо учитывать при оптимизации параметров последнего. Измерять радиационное время АЭ в резонаторе ТТЛ с диодной накачкой и пассивной модуляцией добротности можно по времени задержки импульса генерации ТТЛ относительно переднего фронта импульса накачки лазера.

ЛИТЕРАТУРА

- [1] J. J. Degnan, IEEE Journal of Quantum Electronics **11**, 1890 (1995).
- [2] М. И. Беловолов, С. И. Державин, Д. А. Машковский и др., Квантовая электроника **8**, 753 (2007).